



Кафедра статистической физики

**Исследование изменения ориентационной  
структуры кирального жидкого кристалла с  
большим флексоэлектрическим  
коэффициентом под воздействием внешнего  
электрического поля**

**Автор:**

Оскирко А.Д.

**Научный руководитель:**

д. ф.-м.н., проф. Ульянов С. В.

Санкт-Петербург, 2020 г.

- ❶ Свободная энергия искажения ориентационной структуры ХЖК
- ❷ Переход Фредерикса в случае отрицательной анизотропии диэлектрической проницаемости
- ❸ Переход между искажёнными ориентационными структурами в случае большого усреднённого флексоэлектрического коэффициента

# Часть 1. Свободная энергия искажения ориентационной структуры ХЖК.

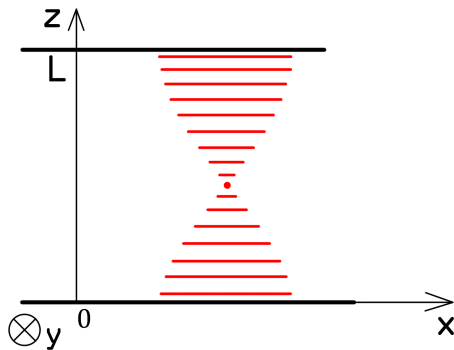


Рис. 1: Планарная геликоидальная структура ХЖК

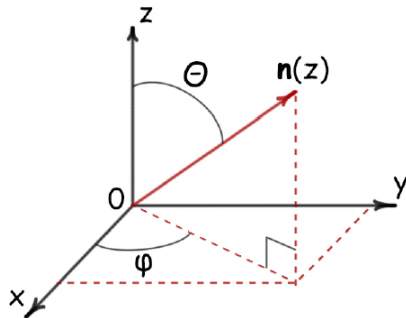


Рис. 2: Ориентация директора  $\mathbf{n}$

## Общий вид выражения

$$\mathcal{F}_{\text{tot}} = \mathcal{F}_{\text{e}} + \mathcal{F}_{\text{sf}} + \mathcal{F}_{\text{f}} \quad (1)$$

## Общий вид выражения

$$\mathcal{F}_{\text{tot}} = \mathcal{F}_e + \mathcal{F}_{\text{sf}} + \mathcal{F}_f \quad (1)$$

## Упругая энергия

$$\mathcal{F}_e = \frac{S_{\perp}}{2} \int_0^L \left[ K_{11}(\text{div } \mathbf{n})^2 + K_{22}(\mathbf{n} \cdot \text{rot } \mathbf{n} + q_0)^2 + K_{33}(\mathbf{n} \times \text{rot } \mathbf{n})^2 \right] dz, \quad (2)$$

$$\mathcal{F}_{\text{sf}} = \frac{S_{\perp}}{2} \sum_{\alpha=1,2} \left[ W_{\theta}^{(\alpha)} \sin^2 \left( \theta - \theta_0^{(\alpha)} \right) + W_{\varphi}^{(\alpha)} \sin^2 \left( \varphi - \varphi_0^{(\alpha)} \right) \right] \quad (3)$$

## Общий вид выражения

$$\mathcal{F}_{\text{tot}} = \mathcal{F}_e + \mathcal{F}_{\text{sf}} + \mathcal{F}_f \quad (1)$$

## Вклад флексоэлектричества

$$\mathcal{F}_f = \int_V F_f dr, \quad F_f = -\frac{1}{4\pi} \int D dE, \quad (2)$$

$$D = \hat{\varepsilon}E + 4\pi P_{\text{flex}}, \quad (3)$$

$$\mathcal{F}_f = -\frac{S_{\perp}}{8\pi} \int_0^L E \cdot \hat{\varepsilon}E dz - S_{\perp} \int_0^L P_{\text{flex}} \cdot E dz \quad (4)$$

$$\varepsilon_{\alpha\beta} = \varepsilon_{\perp} \delta_{\alpha\beta} + \varepsilon_a n_{\alpha} n_{\beta}, \quad (5)$$

$$P_{\text{flex}} = e_1 n \operatorname{div} n + e_3 \operatorname{rot} n \times n, \quad (6)$$

## Общий вид выражения

$$\mathcal{F}_{\text{tot}} = \mathcal{F}_e + \mathcal{F}_{\text{sf}} + \mathcal{F}_f \quad (1)$$

## Результат

$$\mathcal{F}_f = -\frac{S_{\perp}}{8\pi} U^2 J + S_{\perp} \bar{e}_{13} U J J_1 + 2\pi S_{\perp} \bar{e}_{13}^2 \left( \int_0^L \frac{(\sin 2\theta \theta')^2}{\mathcal{E}(\theta)} dz - J J_1^2 \right) \quad (2)$$

$$J_1 = \ln \frac{\mathcal{E}(\theta(0))}{\mathcal{E}(\theta(L))}, \quad J = \left( \int_0^L \frac{1}{\mathcal{E}(\theta)} dz \right)^{-1}, \quad \mathcal{E}(\theta) = \varepsilon_{\perp} + \varepsilon_a \cos^2(\theta)$$



# Свободная энергия ХЖК во внешнем поле

Полная энергия, записанная в сферических координатах

$$\begin{aligned}\mathcal{F}_{\text{tot}} = & \frac{V}{2} K_{22} q_0^2 + \frac{S_{\perp}}{2} \int_0^L \left[ \mathcal{A}(\theta)(\theta')^2 + \mathcal{B}(\theta)(\varphi')^2 - 2\mathcal{C}(\theta)\varphi' \right] dz + \\ & + \frac{S_{\perp}}{2} \sum_{\alpha=1,2} \left[ W_{\theta}^{(\alpha)} \sin^2 \left( \theta - \theta_0^{(\alpha)} \right) + W_{\varphi}^{(\alpha)} \sin^2 \left( \varphi - \varphi_0^{(\alpha)} \right) \right] - \\ & - \frac{S_{\perp}}{8\pi} U^2 J + S_{\perp} \bar{e}_{13} U J J_1 + 2\pi S_{\perp} \bar{e}_{13}^2 \left( \int_0^L \frac{(\sin 2\theta \theta')^2}{\mathcal{E}(\theta)} dz - J J_1^2 \right) \quad (3)\end{aligned}$$

$$\mathcal{A}(\theta) = K_{11}(\sin \theta)^2 + K_{33}(\cos \theta)^2$$

$$\mathcal{B}(\theta) = (\sin \theta)^2 \left( K_{22}(\sin \theta)^2 + K_{33}(\cos \theta)^2 \right)$$

$$\mathcal{C}(\theta) = q_0 K_{22}(\sin \theta)^2$$

# Свободная энергия ХЖК во внешнем поле

## Упрощение функционала свободной энергии

После варьирования  $\mathcal{F}_{\text{tot}}$  получаем систему уравнений Эйлера-Лагранжа

$$\frac{d\mathcal{A}}{d\theta}\theta'^2 + 2\mathcal{A}\theta'' = \frac{dB}{d\theta}\varphi'^2 - 2\frac{dC}{d\theta}\varphi' + \frac{\varepsilon_a \mathcal{U}^2 J^2 \sin 2\theta}{4\pi \mathcal{E}^2(\theta)}, \quad (4)$$

$$d(B\varphi' - C)/dz = 0, \quad (5)$$

и систему граничных условий ( $\alpha = 1, 2$ )

$$\begin{aligned} & \left( 2(-1)^\alpha [\mathcal{A}(\theta)\theta' + \bar{e}\mathcal{U}J \sin 2\theta / \mathcal{E}(\theta)] \right. \\ & \quad \left. + W_\theta^{(\alpha)} \sin 2(\theta - \theta_0^{(\alpha)}) \right) \Big|_{z=l_\alpha} = 0, \end{aligned} \quad (6)$$

$$\left( 2(-1)^\alpha (B\varphi' - C) + W_\varphi^{(\alpha)} \sin 2(\varphi - \varphi_0^{(\alpha)}) \right) \Big|_{z=l_\alpha} = 0, \quad (7)$$

# Свободная энергия ХЖК во внешнем поле

## Упрощение функционала свободной энергии

Окончательное выражение для  $\mathcal{F}_{\text{tot}}$

$$\begin{aligned}\mathcal{F}_{\text{tot}}(\theta) = \mathcal{F}_e^{(0)} + \frac{S_{\perp}}{2} \left[ \int_0^L \left( \mathcal{A}(\theta) \theta'^2 - \frac{C^2(\theta)}{B(\theta)} \right) dz + \right. \\ \left. + W_{\theta}^{(1)} \sin^2 \left( \theta(0) - \theta_0^{(1)} \right) + W_{\theta}^{(2)} \sin^2 \left( \theta(L) - \theta_0^{(2)} \right) + \right. \\ \left. + C_2^2 \left( I_1 + \kappa_1 / W_{\varphi}^{(1)} + \kappa_2 / W_{\varphi}^{(2)} \right) - \frac{u^2 J}{4\pi} \right], \quad (8)\end{aligned}$$

и  $\varphi$ :

$$\varphi(z) = \varphi_0^{(1)} + \frac{1}{2} \arcsin \frac{2C_2}{W_{\varphi}^{(1)}} + \int_0^z \frac{C(\theta) + C_2}{B(\theta)} dz. \quad (9)$$

# Свободная энергия ХЖК во внешнем поле

## Выражения для констант

В формулах (8) и (9) используются константы  $C_2$  и  $\kappa_{1,2}$ . Для  $\kappa_{1,2}$  можно привести точное выражение:

$$\kappa_\alpha = 2 / \left( 1 + \sqrt{1 - (2C_2/W_\varphi^{(\alpha)})^2} \right), \quad (10)$$




а на  $C_2$  имеется трансцендентное уравнение:

$$C_2 = (\varphi_{\text{tot}}^{(0)} - I_2) / (I_1 + k_1/W_\varphi^{(1)} + k_2/W_\varphi^{(2)}), \quad (11)$$

где  $k_\alpha = \left( W_\varphi^{(\alpha)} / 2C_2 \right) \arcsin \left( 2C_2 / W_\varphi^{(\alpha)} \right)$ ,  $1 \leq k_\alpha \leq \pi/2$ .

## Часть 2. Влияние флексоэлектричества на переход Фредерикса (случай отрицательной диэлектрической анизотропии)

---

Результаты опубликованы в статье *A. D. Oskirko, S. V. Ul'yanov and A. Yu. Val'kov* **Effect of flexoelectricity on the Frèedericksz transition in chiral nematics with negative dielectric anisotropy** J. Phys.: Conf. Ser. **1141** 012147    10/33

# Устойчивость планарной геликоидальной структуры

## Аналитическое изучение

$$\delta^2 \mathcal{F}_{\text{tot}} = \delta^2 \mathcal{F}_\theta + \delta^2 \mathcal{F}_\varphi,$$

$$\begin{aligned} \delta^2 \mathcal{F}_\theta = & \frac{S_\perp}{2} \int_0^L \left( K_{11} (\delta\theta')^2 + M (\delta\theta)^2 \right) dz + \\ & + \frac{S_\perp}{2} \sum_{\alpha=1,2} \mathcal{W}_\theta^{(\alpha)} \delta\theta^2(l_\alpha), \end{aligned} \quad (12)$$

$$\delta^2 \mathcal{F}_\varphi = \frac{S_\perp}{2} \int_0^L \left( K_{22} (\delta\varphi')^2 \right) dz + \frac{S_\perp}{2} \sum_{\alpha=1,2} \mathcal{W}_\varphi^{(\alpha)} \delta\varphi^2(l_\alpha), \quad (13)$$

$$\begin{aligned} M = & K_{33} q_0^2 - \varepsilon_a U^2 / (4\pi L^2) > 0, \\ \mathcal{W}_\theta^{(\alpha)} = & W_\theta^{(\alpha)} - 2(-1)^\alpha \bar{e}_{13} U / L \end{aligned} \quad (14)$$

$$\delta\theta(z) = \delta\psi(z) + \delta\mu(z), \quad \delta^2\mathcal{F}_\theta = Q_\psi + Q_\mu,$$

$$Q_\psi = \frac{S_\perp}{2} \int_0^L \left( K_{11}(\delta\psi'(z))^2 + M(\delta\psi(z))^2 \right) dz + \frac{S_\perp}{2} \sum_{\alpha=1,2} \widetilde{W}_\theta^{(\alpha)} \delta_\alpha^2, \quad (15)$$

$$Q_\mu = \frac{S_\perp}{2} \int_0^L \left( K_{11}(\delta\mu')^2 + M(\delta\mu)^2 \right) dz. \quad (16)$$

$$K_{11}\delta\psi''(z) - M\delta\psi(z) = 0, \quad \delta\psi(0) = \delta_1, \quad \delta\psi(L) = \delta_2.$$

$$\delta\psi = \delta_1 \frac{\sinh \xi(L-z)}{\sinh \xi L} + \delta_2 \frac{\sinh \xi z}{\sinh \xi L}, \quad (17)$$

$$\xi = \sqrt{M/K_{11}}.$$

# Устойчивость планарной геликоидальной структуры

Результирующий критерий устойчивости:

$$w^{(1)}w^{(2)} + 2\bar{w}t \coth t + t^2 > 0. \quad (18)$$

где введены безразмерные параметры  $t = \xi L$ ,  $w^{(\alpha)} = \mathcal{W}^{(\alpha)}L/K_{11}$ , и  $\bar{w} = (W_{\theta}^{(1)} + W_{\theta}^{(2)})L/2K_{11}$ .

Уравнение кривой  $e_+^*(U)$

$$e_+^*(U) = (K_{11}/4U) \left( \Delta w + 2\bar{w} \operatorname{sgn} U \sqrt{1 + X(U)} \right), \quad (19)$$

$$X(U) = \frac{2}{\bar{w}} \left( t \coth t + t^2/2\bar{w} \right). \quad (20)$$

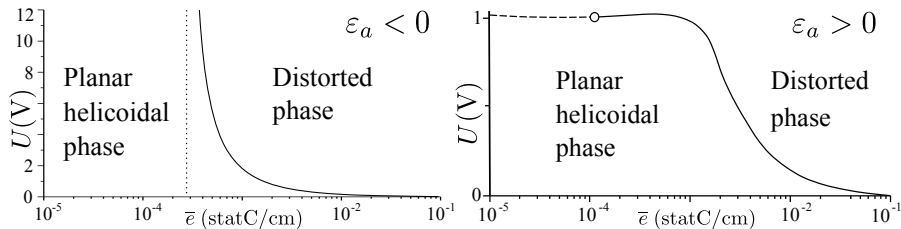
Уравнение вертикальной асимптоты:

$$\bar{e}' = \lim_{U \rightarrow \infty} \bar{e}_+^*(U) = \sqrt{\frac{-\varepsilon_a K_{11}}{16\pi}} \quad (21)$$



# Переход Фредерикса. Случай $\varepsilon_a < 0$

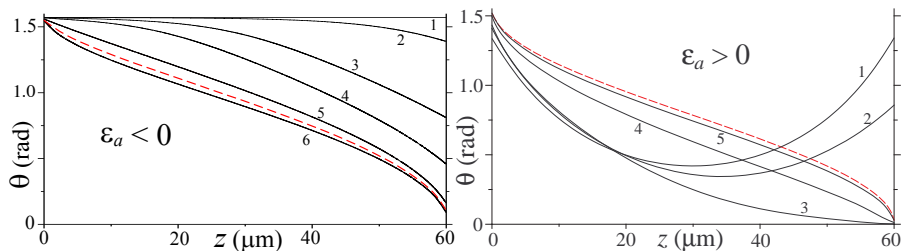
## Фазовые диаграммы



**Рис. 3:** Фазовые диаграммы для случаев  $\varepsilon_a < 0$  и  $\varepsilon_a > 0$ . Сплошная и пунктирная линии соответствуют межфазным границам, соответственно, для непрерывного и для разрывного перехода; линией из точек обозначена асимптота межфазовой границы при  $\varepsilon_a < 0$ , а кружок обозначает трикритическую точку.

# Переход Фредерикса. Случай $\varepsilon_a < 0$

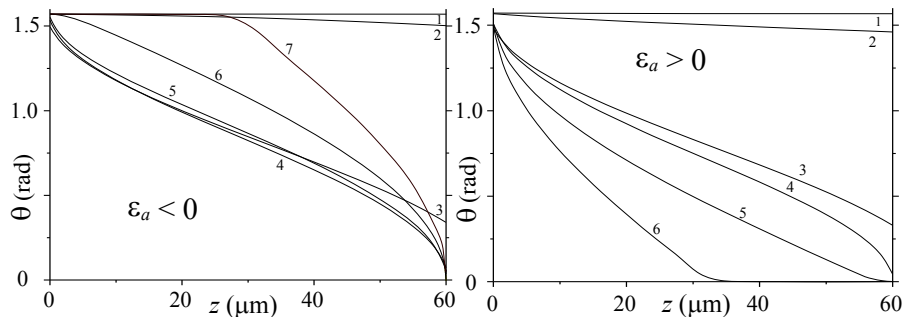
Сравнение профилей  $\theta(z)$  при постоянном  $U$



**Рис. 4:** Профили  $\theta(z)$  для  $U = 1.2$  V. Линии для  $\varepsilon_a < 0$  соответствуют: 1 –  $\bar{\varepsilon} = 10^{-3}$ , 2 –  $\bar{\varepsilon} = 1.5 \times 10^{-3}$ , 3 –  $\bar{\varepsilon} = 1.8 \times 10^{-3}$ , 4 –  $\bar{\varepsilon} = 2 \times 10^{-3}$ , 5 –  $\bar{\varepsilon} = 3 \times 10^{-3}$ , 6 –  $\bar{\varepsilon} = 10^{-2}$  в единицах statC/cm; линии для  $\varepsilon_a > 0$  соответствуют: 1 –  $\bar{\varepsilon} = 0$ , 2 –  $\bar{\varepsilon} = 10^{-4}$ , 3 –  $\bar{\varepsilon} = 10^{-3}$ , 4 –  $\bar{\varepsilon} = 3 \times 10^{-3}$ , 5 –  $\bar{\varepsilon} = 10^{-2}$  в единицах statC/cm. Пунктирные линии соответствуют зависимости  $\cos^2 \theta(z) \simeq z/L$ .

# Переход Фредерикса. Случай $\varepsilon_a < 0$

Сравнение профилей  $\theta(z)$  при постоянном большом  $\bar{e}$



**Рис. 5:** Равновесные профили  $\theta(z)$  для  $\bar{e} = 0.01$  statC/cm. Линии в случае  $\varepsilon_a < 0$ : 1 –  $U = 0.15$  V, 2 –  $U = 0.17$  V, 3 –  $U = 0.18$  V, 4 –  $U = 1$  V, 5 –  $U = 2$  V, 6 –  $U = 5$  V и 7 –  $U = 10$  V; линии в случае  $\varepsilon_a > 0$ : 1 –  $U = 0.15$  V, 2 –  $U = 0.17$  V, 3 –  $U = 0.18$  V, 4 –  $U = 1$  V, 5 –  $U = 5$  V и 6 –  $U = 10$  V.

- 1 Показано, что при  $\varepsilon_a < 0$  переход Фредерикса возможен при достаточно большом  $\bar{\epsilon}$ , причём он может быть только непрерывным;
- 2 Было обнаружено, что для достаточно больших  $\bar{\epsilon}$  напряжение перехода убывает как  $1/\bar{\epsilon}$ ;
- 3 Было обнаружено, что при повышении напряжения выше перехода Фредерикса происходит ещё один переход – из слабоискажённой фазы в сильноискажённую.

Часть 3. Случай большого флексоэлектрического коэффициента  
и достаточно высокого приложенного напряжения

$$\frac{\bar{e}U}{K} \gg 1 \quad (22)$$

# Большой $\bar{e}$ и высокое $U$

## Основные понятия

### Свободная энергия

$$\frac{\mathcal{F}_{\text{tot}}}{S_{\perp}} = -\frac{1}{8\pi} U^2 J + \bar{e} U J J_1 + 2\pi \bar{e}^2 \left( \int_0^L \frac{(\sin 2\theta\theta')^2}{\mathcal{E}(\theta)} dz - J J_1^2 \right) + \frac{W_1}{2} \sin^2 \left( \theta(0) - \theta_0^{(1)} \right) + \frac{W_2}{2} \sin^2 \left( \theta(L) - \theta_0^{(2)} \right) + \text{elastic} \quad (23)$$

Обозначим  $y(z) = \frac{\varepsilon_{\perp}}{\varepsilon_a} + \cos^2 \theta(z)$ ,  $y(z) \in \left[ \frac{\varepsilon_{\perp}}{\varepsilon_a}; \frac{\varepsilon_{\parallel}}{\varepsilon_a} \right] \quad \forall z \in [0; L]$

### Свободная энергия как функционал $y(z)$

$$\frac{\mathcal{F}_{\text{tot}}}{S_{\perp}} = -\frac{1}{8\pi} U^2 J + \bar{e} U J J_1 + 2\pi \bar{e}^2 \left( \frac{1}{\varepsilon_a} \int_0^L \frac{(y')^2}{y(z)} dz - J J_1^2 \right) + \frac{W_1}{2} y(0) + \frac{W_2}{2} y(L) + \text{elastic} \quad (24)$$

### Reminder

$$J^{-1} = \frac{1}{\varepsilon_a} \int_0^L \frac{dz}{y(z)}, \quad J_1 = \frac{1}{\varepsilon_a} \ln \frac{y(0)}{y(L)} \quad (25)$$

# Большой $\bar{e}$ и высокое $U$

## Вариационный принцип

### Вариация в объёме

$$\frac{\delta \mathcal{F}}{S_{\perp} \delta y(z)} = \frac{2\pi \bar{e}^2}{\varepsilon_a y^2} \left[ -2yy'' + (y')^2 - a^2 \right] \quad (26)$$

### Уравнение Эйлера-Лагранжа в объёме

$$-2yy'' + (y')^2 - a^2 = 0 \quad (27)$$

Здесь

$$a \equiv J \left( J_1 - \frac{U}{4\pi \bar{e}} \right) \quad (28)$$

### Reminder

$$J^{-1} = \frac{1}{\varepsilon_a} \int_0^L \frac{dz}{y(z)}, \quad J_1 = \frac{1}{\varepsilon_a} \ln \frac{y(0)}{y(L)} \quad (29)$$

# Большой $\bar{e}$ и высокое $U$

Решение уравнения в объёме

## Решения

$$y(z) = \pm az + b, \quad (30)$$

$$y(z) = \frac{c}{4} (z + b)^2 - \frac{a^2}{c} \quad (31)$$

Произвольные константы:  $b, c$



# Большой $\bar{e}$ и высокое $U$

Вариация на границах

## Вариация на границах

$$\frac{\delta \mathcal{F}}{S_{\perp} \delta y(0)} = \frac{4\pi \bar{e}^2}{\varepsilon_a y(0)} [-y'(0) - a + g_1 y(0)] (= 0) \quad (32)$$

$$\frac{\delta \mathcal{F}}{S_{\perp} \delta y(L)} = \frac{4\pi \bar{e}^2}{\varepsilon_a y(L)} [y'(0) + a + g_2 y(0)] (= 0) \quad (33)$$

$$g_i \equiv \frac{\varepsilon_a W_i}{8\pi \bar{e}^2} \quad (34)$$

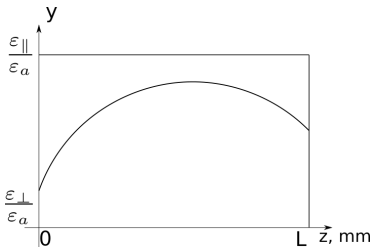


Рис. 6: Профилей такого вида не существует

# Большой $\bar{e}$ и высокое $U$

Пояснение к вариационному принципу

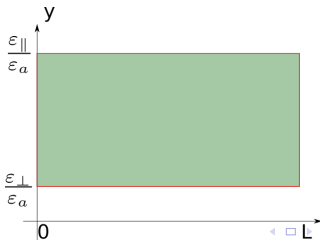
## Формальное требование на экстремаль

$$\delta\mathcal{F} \geq 0$$

для любых **допустимых**  $\delta y(z)$ .

## Ограниченность функции

$$y(z) \in \left[ \frac{\varepsilon_{\perp}}{\varepsilon_a}; \frac{\varepsilon_{\parallel}}{\varepsilon_a} \right] \quad \forall z \in [0; L]$$



# Большой $\bar{\epsilon}$ и высокое $U$

Профили без участков насыщения

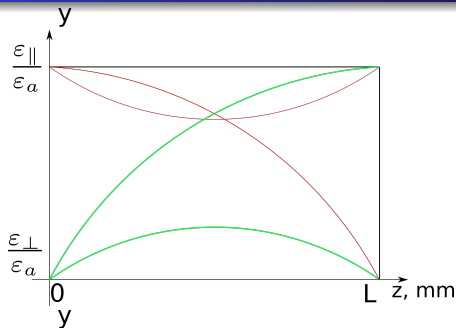


Рис. 7: Примеры профилей с концами в углах

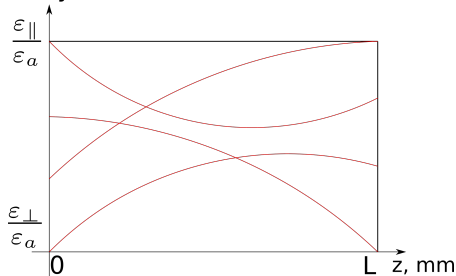


Рис. 8: Примеры профилей, у которых только один конец находится в углу.

### Условия существования профиля

- 1 “Геометрические” условия: нужные точки находятся в углах, а сам профиль – в прямоугольнике  $[0; L] \times [\varepsilon_{\perp}/\varepsilon_a; \varepsilon_{\parallel}/\varepsilon_a]$
- 2 Неотрицательность первой вариации  $\delta\mathcal{F}/\delta u \geq 0$ , в том числе на границах
- 3 Самосогласование:  $a = J(J_1 - U/(4\pi\bar{e}))$

Данные условия позволяют найти уравнение профиля, а также условия на параметры системы, при которых он существует. Данная задача сводится к обобщению условий Куна-Таккера на бесконечномерный случай.

# Большой $\bar{e}$ и высокое $U$

Какие профили возможны?

## О насыщении

$$\frac{\delta \mathcal{F}}{S_{\perp} \delta y(z)} = \frac{2\pi \bar{e}^2}{\varepsilon_a y^2} \left[ -2yy'' + (y')^2 - a^2 \right] \quad (35)$$

Вывод: при  $\varepsilon_a > 0$  насыщение в объёме возможно лишь на  $y = \varepsilon_{\parallel} / \varepsilon_a$

# Большой $\bar{\epsilon}$ и высокое $U$

Профили с участками насыщения

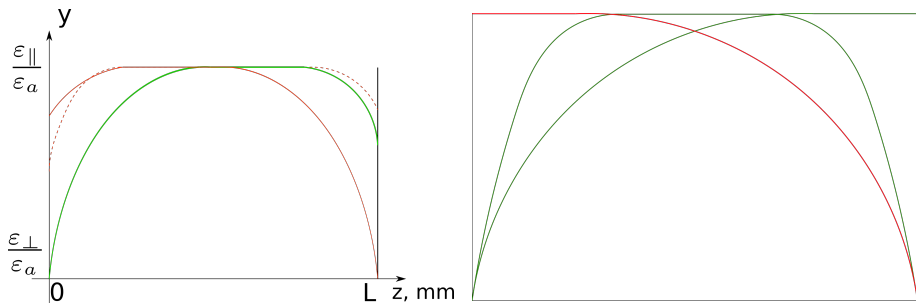


Рис. 9: Варианты профилей с участками насыщения

# Большой $\bar{e}$ и высокое $U$

Схема переходов

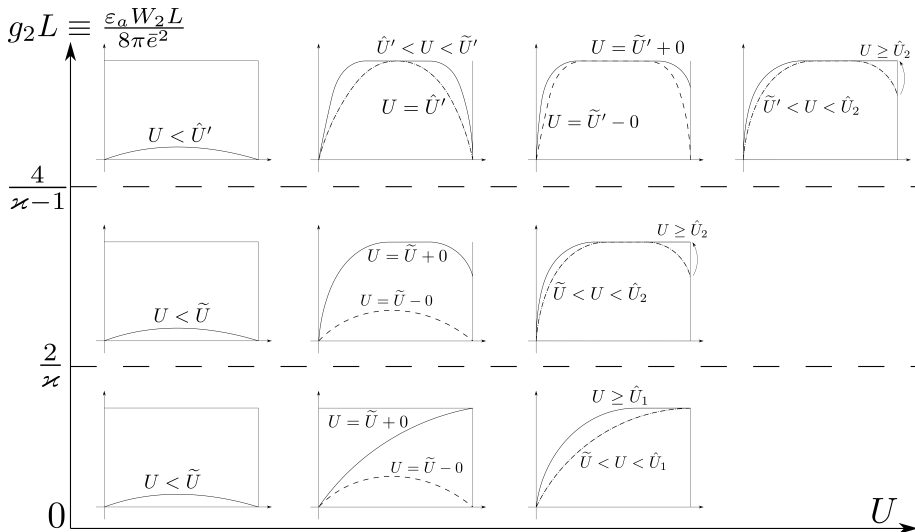


Рис. 10: Схема трансформаций ориентационной структуры



28/33

## Выражения для характеристических напряжений

$$\tilde{U} = \frac{8\pi\bar{e}}{\varepsilon_a} \ln \left( 1 + \frac{g_2 L}{2} \right) \quad (36)$$

$$\hat{U}_1 = \frac{8\pi\bar{e}}{\varepsilon_a} \ln \left( \frac{\varkappa + 1}{\varkappa} \right) \quad (37)$$

$$\hat{U}_2 = \frac{8\pi\bar{e}}{\varepsilon_a} \left[ \frac{g_2 L}{2} - \frac{1}{\varkappa} + \ln \left( \frac{\varkappa + 1}{\varkappa} \right) \right] \quad (38)$$

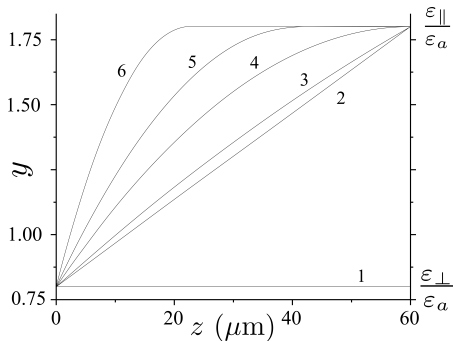
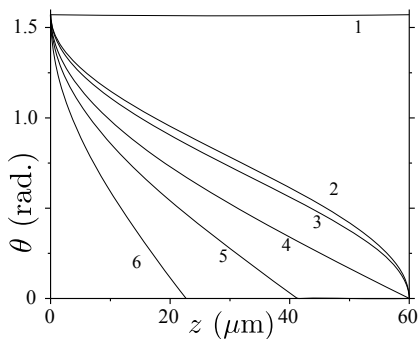
$$\hat{U}' = \frac{8\pi\bar{e}}{\varepsilon_a} \ln \left( \frac{\varkappa + 1}{\varkappa - 1} \right) \quad (39)$$

$$\tilde{U}' = \frac{8\pi\bar{e}}{\varepsilon_a} \left[ \frac{g_2 L}{2} \frac{\varkappa - 1}{\varkappa} - \frac{2}{\varkappa} + \ln \left( \frac{\varkappa + 1}{\varkappa - 1} \right) \right] \quad (40)$$



# Большой $\bar{\epsilon}$ и высокое $U$

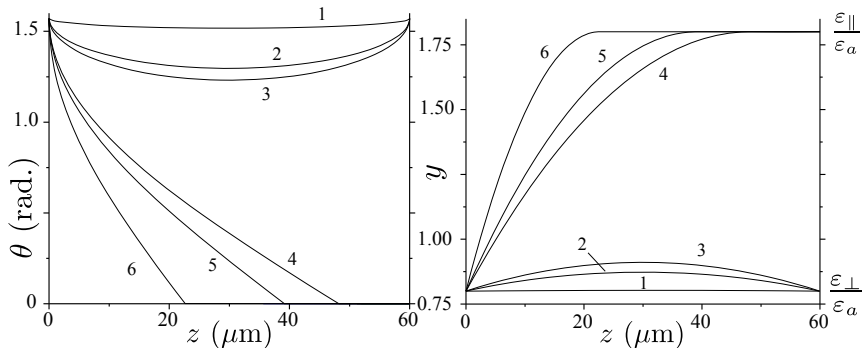
Профили при слабом зацеплении



**Рис. 11:** Профили  $\theta(z)$  (слева) и зависимости  $y(z)$  (справа), полученные для случая слабого зацепления, когда выполнено  $g_2 L < 2/\kappa$ . Модули поверхностного зацепления:  $W_\theta^{(1)} = 0.0025 \text{ erg/cm}^2$ ,  $W_\theta^{(2)} = 5 \times 10^{-4} \text{ erg/cm}^2$  для всех кривых. Приложенное напряжение в соответствии с линиями: 1 –  $U = 0.04 \text{ V}$ , 2 –  $U = 0.05 \text{ V}$ , 3 –  $U = 1.5 \text{ V}$ , 4 –  $U = 4.67 \text{ V}$ , 5 –  $U = 7.5 \text{ V}$ , 6 –  $U = 15 \text{ V}$ .

# Большой $\bar{\epsilon}$ и высокое $U$

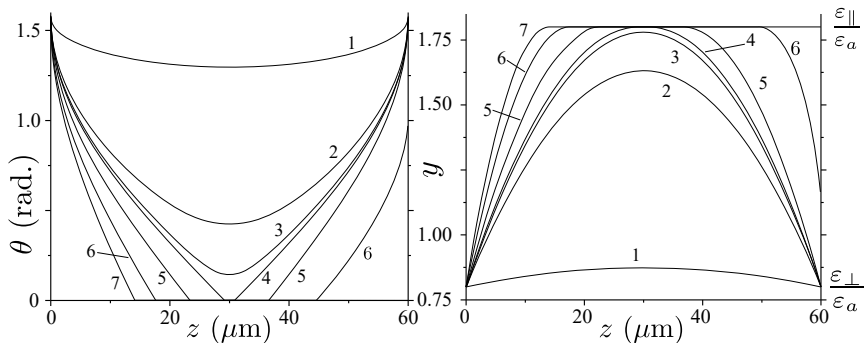
Профили при среднем зацеплении



**Рис. 12:** Профили  $\theta(z)$  (слева) и зависимости  $y(z)$  (справа), полученные для случая среднего зацепления, когда выполнено  $4/(\kappa - 1) > g_2 L > 2/\kappa$ . Модули поверхностного зацепления:  $W_{\theta}^{(1)} = 0.25 \text{ erg/cm}^2$ ,  $W_{\theta}^{(2)} = 0.10 \text{ erg/cm}^2$  для всех кривых. Приложенное напряжение в соответствии с линиями: 1 –  $U = 1 \text{ V}$ , 2 –  $U = 5 \text{ V}$ , 3 –  $U = 6.1 \text{ V}$ , 4 –  $U = 6.2 \text{ V}$ , 5 –  $U = 8 \text{ V}$ , 6 –  $U = 15 \text{ V}$ .

# Большой $\bar{\epsilon}$ и высокое $U$

## Профили при сильном зацеплении



**Рис. 13:** Профили  $\theta(z)$  (слева) и зависимости  $y(z)$  (справа), полученные для случая сильного зацепления, когда выполнено  $4/(\kappa - 1) < g_2 L$ . Модули поверхностного зацепления:  $W_\theta^{(1)} = 1.75 \text{ erg/cm}^2$ ,  $W_\theta^{(2)} = 0.7 \text{ erg/cm}^2$  для всех кривых. Приложенное напряжение в соответствии с линиями: 1 –  $U = 5 \text{ V}$ , 2 –  $U = 15 \text{ V}$ , 3 –  $U = 16 \text{ V}$ , 4 –  $U = 16.5 \text{ V}$ , 5 –  $U = 19.65 \text{ V}$ , 6 –  $U = 19.75 \text{ V}$ , 7 –  $U = 65 \text{ V}$ .

- 1 Для случая большого флексоэлектрического коэффициента, немалого  $U$  и  $\varepsilon_a > 0$  аналитически рассчитаны профили  $\theta(z)$ ;
- 2 Показано, как изменяется эволюция профилей  $\theta(z)$  с изменением  $U$  в зависимости материальных параметров